

## جذب رنگ آلاینده قرمز اسیدی ۲۰۶ از محلول آبی با استفاده از توده سلولی مرده قارچ آیرپکس (Irepex Lacteous)

عزیزه عبدالملکی<sup>۱\*</sup>، کاظم مهان پور<sup>۲</sup>، رضا مرادی<sup>۳</sup> و سعید نجفی<sup>۴</sup>

- ۱- استادیار شیمی تجزیه، گروه شیمی، واحد تویسرکان، دانشگاه آزاد اسلامی، تویسرکان، ایران
- ۲- استادیار شیمی کاربردی، گروه شیمی، واحد اراک، دانشگاه آزاد اسلامی، اراک، ایران
- ۳- دکترای شیمی کاربردی، گروه شیمی، واحد تویسرکان، دانشگاه آزاد اسلامی، تویسرکان، ایران
- ۴- کارشناسی ارشد شیمی کاربردی، واحد اراک، دانشگاه آزاد اسلامی، اراک، ایران

دریافت: شهریور ۱۳۹۲، بازنگری اول: آبان ۱۳۹۲، بازنگری دوم: آذر ۱۳۹۲، پذیرش: دی ۱۳۹۲

**چکیده:** در این پژوهش حذف یک رنگ آزو (قرمز اسیدی ۲۰۶) از محلول آبی با استفاده از توده سلولی مرده قارچ آیرپکس لاكتیوس (Irepex Lacteous) مورد بررسی قرار گرفته است. تأثیر pH اولیه محلول، غلظت اولیه رنگ و دما بر میزان جذب زیستی مورد بررسی قرار گرفت. در  $3^{\circ}\text{C}$  pH = ۲۰ ppm و در دمای ۲۰ درجه سانتی گراد، بیشترین مقدار جذب رنگ بر روی فاز مشاهده شد. نتیجه های آزمایشگاهی نشان داد که مدل سینتیکی شبه درجه ای اصلاح شده و هم دما فریتز و اشلاندر برای بررسی فرایند جذب رنگ مذکور مناسب است.

**واژه های کلیدی:** جذب زیستی، مدل ایزوترم، قرمز اسیدی ۲۰۶

ورود این آلاینده ها به محیط زیست آلدگی زیادی ایجاد می شود. روش های جذبی از جمله روش های مورد استفاده در حذف یا کاهش آلدگی های رنگی و غیر رنگی از پساب هاست. استفاده از جاذب هایی مانند زغال فال و یا توده زیستی های طبیعی و سنتزی از جمله این روش ها در جذب آلدگی های آب است و پژوهش های زیادی روی آن ها انجام شده است [۲ تا ۵]. بیشتر پژوهش های انجام گرفته بر روی جاذب های زیستی با استفاده از فعالیت زیستی میکرو اگانیسم هایی همچون انواع قارچ ها، جلبک های میکروسکوپی و باکتری ها در حالتی که آن ها زنده هستند انجام گرفته است [۶ تا ۹] و پژوهش های محدودی بر روی توده زیستی مرده این جاذب ها انجام شده است. با توجه

### مقدمه

در دهه های اخیر به علت کمبود منابع آب شیرین در مناطق خشک و نیم خشک کره زمین از جمله ایران، حفظ و نگهداری و استفاده مناسب از منابع آب شیرین مورد توجه و بحث قرار گرفته است. به همین دلیل استفاده از روش های تصفیه پساب جهت جلوگیری از آلدگی منابع سطحی و عمقی آب گسترش یافته است. رنگ های موجود در پساب های صنعتی از جمله مهم ترین آلاینده های آب به حساب می آیند. بر اساس پژوهش های انجام گرفته حدود پانزده درصد از کلیه رنگ های تولیدی در جهان در صنایع نساجی به کار می روند و در این میان رنگ های آزو در صنایع نساجی از تنوع و کاربرد زیادی برخوردارند [۱]. در صورت

تعیین غلظت کالیبره شدن.

به منظور تنظیم pH از دستگاه pH متر مدل Horiba (M12) ساخت ژاپن و با به کار بردن محلول های رقیق هیدروکلریک اسید و سدیم هیدروکسید با غلظت ۱،۰ مولار استفاده شد. قابل ذکر است که در کلیه مراحل آزمایش از جمله تهیه محلول ها از آب دوبار تقطیر شده استفاده شد.

**روش آماده سازی توده زیستی قارچی آیرپکس لاکتیوس**  
هاگ ها در محیط کشت مناسب روی سطح آگار سیب زمینی / گلوکز در دمای ۳۰ °C برای تلخیق آماده سازی شدن. محیط کشت محلولی شامل ۳۰ گرم نشاسته، ۱ گرم پتاسیم دی هیدروژن فسفات، ۰،۵ گرم سولفات منیزیم هفت آبه و ۱ گرم پیتون که در ۱۰۰ میلی لیتر آب مقطر حل شد. pH قبل از اتوکلاو کردن روی ۵ تنظیم شد. گرمانه گذاری آیرپکس لاکتیوس در ارلن مایر ۵۰۰ میلی لیتری که حاوی ۱۰۰ میلی لیتر محیط کشت است در دمای ۳۰ °C ۶۰ ساعت از زمان قرارگیری در گرمانه گذاری، توده سلولی سانتریفیوژ و با آب دو بار تقطیر چندین بار شست و شو شد به گونه ای که pH محلول به دست آمده از شست و شو به حد آب مقطر رسید. برای این که تمام توده زیستی به کار رفته در پژوهش به صورت مرده در آید، این توده در دمای ۱۳۰ °C و ۱۸ PSI برای مدت ۶۰ دقیقه درون اتوکلاو قرار داده شد و سپس در دمای ۷۰-۶۰ °C به مدت ۳۶ ساعت در آون خشک شد. توده زیستی خشک شده با استفاده از هاون به صورت پودر و سپس با استفاده از غربال های استاندارد ابعاد آن به کمتر از ۳۰۰ میکرومتر در آمد.

**روش بررسی تأثیر pH بر روی فرایند جذب**  
برای بررسی تأثیر pH در فرایند جذب مقدار ۰،۲ گرم از توده زیستی را در ۱۰۰ میلی لیتر از محلول رنگ (با غلظت ۵۰ میلی گرم بر لیتر) قرار داده و با استفاده از pH متر و محلول های سود ۰،۱ مولار و هیدروکلریک اسید ۰،۱ مولار pH محلول در هر آزمایش جداگانه بین ۳ تا ۱۱ با گام های ۱ واحدی تنظیم شد. با اندازه گیری

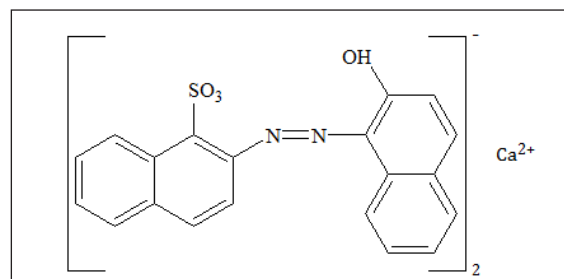
به این که منبع توده سلولی به کار رفته از یک قارچ زنده اولیه به دست آمده است لذا فرایند را می توان از نوع جذب زیستی در نظر گرفت.

در این پژوهش با استفاده از توده سلولی مرده یک نوع قارچ ریسه سفید به نام آیرپکس لاکتیوس، فرایند جذب یک نمونه آلانینه رنگی از نوع دی آزو که در صنایع نساجی کاربرد دارد و با میکرو ارگانیسم ها قابل تجزیه نبوده و باعث آسودگی منابع آب می شود مورد بررسی قرار گرفته و مدل های همدما می مناسب و سینتیک فرایند جذب این رنگ بررسی و تعیین شده است.

## بخش تجربی

### مواد و روش ها

رنگ قرمز اسیدی ۲۰۶ (AR206) از شرکت R.O.D کشور چین تهیه شد که در شکل ۱ ساختار آن نشان داده شده است. بقیه مواد شامل هیدروکلریک اسید، سدیم هیدروکسید، پتاسیم هیدروژن فسفات، منیزیم سولفات هفت آبه، نشاسته و پیتون ساخت شرکت مرک (Merk) آلمان بود. اسپور (هاگ) قارچی Irpex Lacteus سویه ۶۱۷/۹۳ از سازمان پژوهش های علمی و صنعتی ایران تهیه شد.



شکل ۱ ساختار شیمیایی رنگ قرمز اسیدی ۲۰۶ (AR206)

غلظت محلول رنگ با تعیین مقدار جذب محلول با استفاده از دستگاه طیفسنج UV-Vis مدل Perkin Elmer lambda 25 (Perkin Elmer lambda 25) اندازه گیری شد. برای اندازه گیری جذب از سل های سیلیکا با مسیر ۵۱۴/۷ cm استفاده شد. مقادیر جذب در طول موج بیشینه ۵۱۴/۷ نانومتر ثبت شد و محلول رنگ در گستره جذبی آن ها برای

و سپس مقدار تغییرات غلظت محلول رنگی در هر ۱۰ دقیقه بازه زمانی تعیین شد. از این نتیجه‌ها برای رسم نمودارهای لازم بر اساس مدل‌های سیستیکی استفاده شد.

**روش بررسی تأثیر دما در فرایند جذب آلانینه رنگی**  
برای بررسی تأثیر دما ابتدا مقدار ۲۰/۰ گرم از توده زیستی قارچی در ۱۰۰ میلی‌لیتر از محلول رنگی قرار داده شد و pH محلول تنظیم شد سپس با استفاده از تنظیم کننده دما، دمای محلول ثابت شد. در دماهای (۲۰، ۲۵، ۳۰ و ۳۵ درجه سانتی‌گراد) به طور جداگانه و در بازه‌های زمانی ۱۰ دقیقه ای نمونه‌گیری انجام شد. با استفاده از طیف‌سنج مقدار جذب در طول موج بیشینه جذب اندازه‌گیری و سپس مقدار تغییرات غلظت محلول رنگی در هر بازه زمانی و در هر دما به طور جداگانه تعیین شد.  
تمام آزمایش‌های جذب زیستی پنج بار و در ارلن مایر که برای جلوگیری از تبخیر با پارافیلم بسته شده است و روی همزن چرخشی با سرعت ۱۲۵ rpm انجام گرفت و میانگین مقدارها برای تجزیه و تحلیل داده‌ها به کار برده شده است.

### نتیجه‌ها و بحث

برای بررسی و تحلیل نتیجه‌های مرتبط با متغیرهای متفاوت لازم است از ظرفیت جذب<sup>۱</sup> استفاده شود که از رابطه ۱ به دست می‌آید:

$$q_e = \frac{(C_i - C_e) \times V}{m} \quad (1)$$

که در این رابطه  $q_e$  ظرفیت جذب بر حسب mg/g،  $C_i$  و  $C_e$  میلی‌گرم بر لیتر و  $V$  حجم محلول بر حسب ml و  $m$  مقدار جاذب بر حسب mg است.

بررسی اثر pH/ولیه محلول در میزان حذف رنگ AR206 همان‌طور که در شکل ۲ آورده شده است، با افزایش pH اولیه محلول رنگی میزان ظرفیت جذب توده زیستی قارچی کاهش

1. Sorption capacity

تغییرات مقدار جذب محلول رنگی در طول موج بیشینه جذب با استفاده از طیف‌سنج و با به کار بردن قانون بیر-لامبرت می‌توان تغییرات غلظت رنگ در محلول و از آن‌جا تأثیر pH را در فرایند جذب مورد بررسی قرار داد.

### روش بررسی تأثیر غلظت اولیه رنگ

برای بررسی تأثیر غلظت اولیه رنگ ابتدا مقدار ۲۰/۰ گرم از توده زیستی قارچی در ۱۰۰ میلی‌لیتر از محلول رنگی با غلظت بین ۵۰-۲۵۰ mg/l (با گام‌های ۲۵ mg/l) مشخص قرار داده شد و pH محلول (معادل ۳) تنظیم شد. سپس با استفاده از تنظیم کننده دما مدل MLW ساخت کشور آلمان دمای محلول ثابت شد. بعد از گذشت ۲ ساعت نمونه‌گیری انجام شد. با استفاده از طیف‌سنج مقدار جذب در طول موج بیشینه جذب اندازه‌گیری و سپس مقدار تغییرات غلظت محلول رنگی در بازه زمانی ۵ ساعت برای هر غلظت اولیه رنگ به طور جداگانه تعیین شد.

### روش بررسی ایزوترم جذبی

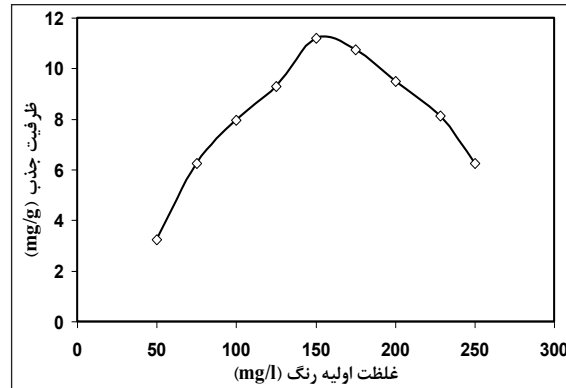
برای بررسی ایزوترم جذبی رنگ یاد شده، مقدارهای متفاوت از توده زیستی (بین ۰/۰۵ تا ۰/۰۵ گرم) (با گام‌های ۰/۰۵ گرم) در ۱۰۰ میلی‌لیتر محلول رنگ با غلظت مشخص (۵۰ میلی‌گرم بر لیتر) قرار داده شد. پس از گذشت مدت زمان لازم برای رسیدن به تعادل از محلول رنگ نمونه‌گیری و با استفاده از طیف‌سنج تغییرات جذب محلول رنگی و از آن‌جا تغییرات غلظت محلول رنگی مشخص شد.

### روش بررسی سرعت جذب رنگ با استفاده از توده زیستی

برای اندازه‌گیری سرعت جذب، به محلول رنگ با غلظت ۵۰ میلی‌گرم بر لیتر و pH معادل ۳، مقدار ۲۰/۰ گرم از توده زیستی افزوده شد. و در دمای ثابت ۲۰ درجه سانتی‌گراد و در فاصله‌های زمانی یکسان از محلول رنگ نمونه‌گیری انجام گرفت. با استفاده از طیف‌سنج مقدار جذب در طول موج بیشینه جذب اندازه‌گیری

بررسی اثر غلظت اولیه در میزان حذف رنگ AR206 همان طور که در شکل ۳ آورده شده است، با افزایش غلظت اولیه رنگ میزان ظرفیت جذب توسط توده زیستی قارچی افزایش یافته است. با توجه به نمودار نشان داده شده در این شکل، میزان افزایش فرایند جذب رنگ با استفاده از توده سلولی مرده‌ی قارچ آیرپکس لاکتیوس با روش نمونه‌گیری از محلول رنگی در زمان‌های متفاوت انجام شده است. بر اساس نتایج بهدست آمده مشخص شد که با افزایش غلظت اولیه رنگ، میزان جذب رنگ روی سطح توده زیستی قارچی ابتدا تا غلظت اولیه ۱۵۰ mg/l افزایش می‌یابد زیرا با افزایش غلظت اولیه رنگ تعداد مولکول‌های رنگ که به سطح جاذب می‌رسند افزایش می‌یابد. اما با افزایش بیشتر از ۱۵۰ mg/l به علت پر شدن مکان‌های فعال جذب کننده بر روی توده زیستی مقدار بازدهی جذب کاهش می‌یابد. این روند تأثیر غلظت اولیه رنگ در فرایند جذب زیستی در پژوهش‌های انجام گرفته در این زمینه نیز مشاهده می‌شود [۱۴].

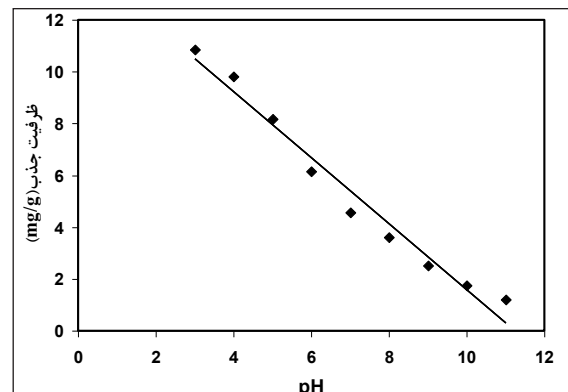
مقایسه معادلات جنبی در فرایند حذف رنگ با استفاده از توده سلولی مرده‌ی قارچ آیرپکس لاکتیوس در این بخش معادلات مربوط به مدل‌های جنبی<sup>۱</sup> معرفی



شکل ۳ بررسی تأثیر غلظت اولیه رنگ بر میزان جذب محلول رنگی AR206 با استفاده از توده زیستی قارچی آیرپکس لاکتیوس در شرایطی که مقدار جاذب ۰.۲ گرم، غلظت اولیه‌ی رنگ متغیر (بین ۵۰ تا ۲۵۰ میلی‌گرم بر لیتر)، محلول ۳ و دما ۲۰ درجه‌ی سانتی‌گراد بود.

1. Sorption isotherms

یافته است. با توجه به نتیجه‌های بهدست آمده مشخص می‌شود که pH از مهم‌ترین عامل‌های مؤثر در فرایند جذب است این تأثیر در فرایند جذب رنگ با استفاده از توده زیستی جلبک‌ها، قارچ‌ها، باکتری‌ها و مخمرها در پژوهش‌ها انجام شده توسط پژوهشگرانی که فرایند جذب آلایینده‌های رنگی را بر روی این توده زیستی‌ها انجام داده‌اند مشاهده شده است. [۱۰ تا ۱۳] بر اساس این پژوهش‌ها با افزایش غلظت یون هیدروژن (کاہش pH) گروه‌های بازی موجود در سطح جاذب خشی شده و گروه‌های دارای بار مثبت موجود در سطح جاذب می‌توانند جاذبه هیدرواستاتیک با رنگ‌های آئیونی داشته باشند و مقدار بازدهی جذب را افزایش دهند. این پدیده در پژوهش انجام شده روی جذب رنگ AR206 با استفاده از توده سلولی قارچی دیده می‌شود. با توجه به این که میزان رنگ ایجاد شده در محلول با مقادیر کم رنگ قابل توجه است لذا هر چند مقدار ظرفیت جذب جاذب بهنسبت کم است ولی چون میزان بی رنگ شدن محلول قابل توجه است به عنوان جاذبی کار آمد قابل استفاده است. همچنین می‌توان با انجام تغییرات فیزیکی مانند تغییر در اندازه جاذب که منجر به افزایش سطح جاذب می‌شود می‌توان کار آبی جذب را چندین مرتبه افزایش داد.



شکل ۲ بررسی تأثیر pH اولیه محلول بر میزان ظرفیت جذب محلول رنگی AR206 با استفاده از توده زیستی قارچی آیرپکس لاکتیوس در شرایطی که مقدار جاذب ۰.۲ گرم، غلظت اولیه‌ی رنگ ۵۰ ppm و pH ۳ و دما ۲۰ درجه‌ی سانتی‌گراد بود.

$$q = \frac{K_L C}{1 + a_L C} \quad (5)$$

#### مدل فروندلیش

هر چند در بررسی‌های فرایند جذب معادلات زیادی ارایه شده است اما معادله‌ای که توسط فروندلیش (Frundlich) ارایه شده از اهمیت ویژه‌ای برخوردار است. معادله فروندلیش از معادله‌ی ۳

با فرض باشد به صورت زیر نوشته می‌شود [۱۷]:

$$q = \frac{k_0}{a} C^{b_0-b} \quad (6)$$

شكل دیگر این رابطه را می‌توان به صورت زیر نشان داد:

$$q_e = K_F C^{n_F} \quad (7)$$

که در آن  $q_e$  مقدار جرم رنگ جذب شده به ازای واحد جرم توده زیستی قارچی بعد از رسیدن به تعادل است واحد آن (mg/g) است که از رابطه ۱ محاسبه می‌شود.

در زمان مشخص مقدار جرم رنگ جذب شده را به ازای واحد جرم توده زیستی قارچی با نماد  $g$  نشان داده می‌شود و بر حسب واحد تعیین می‌شود اگر در رابطه ۱ به جای  $C_e$  غلظت در زمان  $t$  که با نماد  $C_t$  نمایش داده می‌شود قرار داده شود. می‌توان نوشت:

$$q_t = \frac{(C_i - C_t) \times V}{m} \quad (8)$$

اگر از طرفین رابطه فروندلیش لگاریتم بگیریم رابطه به شکل زیر در می‌آید:

$$\log q_e = \log K_F + n_F \log C_e \quad (9)$$

چنان‌چه نمودار  $\log q_e$  را بر حسب  $\log C_e$  رسم کنیم خطی به دست می‌آید که ضریب زاویه آن  $n_F$  و عرض از مبدأ آن نشان‌دهنده  $\log K_F$  است.

#### مدل ردیلیش- پترسون

اگر در معادله‌ی ۲ فرض شود که  $b_0 = c = 1$  به معادله‌ی همدمای جذبی ردیلیش- پترسون به صورت زیر به دست می‌آید [۱۸]:

$$q = \frac{k_0 C}{1 + a_C b} \quad (10)$$

می‌شوند که مهم‌ترین آن‌ها عبارت‌اند از [۱۵ تا ۱۸]:

- مدل فریتز و اشلاندر<sup>۱</sup>

- مدل لانگمیر<sup>۲</sup>

- مدل فروندلیش<sup>۳</sup>

- مدل ردیلیش- پترسون<sup>۴</sup>

#### مدل فریتز و اشلاندر

اطلاعات به دست آمده از مطالعه‌ی فرایندهای تعادلی کمک می‌کند تا ظرفیت جاذب‌ها در فرایندهای جذبی تعیین شود. برای سامانه‌های چند جزئی مدل فریتز و اشلاندر به صورت معادله ۲ ارایه شده است [۱۵]:

$$q_i = \frac{k_{i0} C_i^{b_{i0}}}{c_i + \sum_{j=1}^n a_{ij} C_j^{b_{ij}}} \quad (2)$$

که در این رابطه:

$mg/q_i$  = غلظت‌های در تعادل ترکیب  $i$  در فاز جامد بر حسب

$mg/l C_i$  = غلظت‌های در تعادل ترکیب  $i$  در فاز مایع بر حسب

$mg/l C_j$  = غلظت‌های در تعادل ترکیب زرد فاز مایع بر حسب

$mg/l C_i$  = غلظت ترکیب  $i$  در فاز مایع بر حسب

$a_{ij}$  و  $b_{ij}$  و  $k_{i0}$  = ثابت‌های معادله هستند.

اگر در رابطه اخیر  $C_j = 0$  در نظر گرفته شود مدل فریتز و اشلاندر (Fritz and Schlunder) برای سامانه‌های حاوی یک

ترکیب در فاز مایع به دست می‌آید.

$$q = \frac{k_0 C^{b_0}}{c + a C^b} \quad (3)$$

که به طور معمول به شکل زیر نیز بازنویسی می‌شود:

$$q = \frac{k_s C^{b_1}}{1 + a_s C^{b_2}} \quad (4)$$

#### مدل لانگمیر

اگر در معادله‌ی ۳ فرض شود که  $b_0 = b = c = 1$  و ثابت‌های

$k_0$  و  $a$  با ثابت‌های ایزوتروم لانگمیر یعنی  $K_L$  و  $a_L$  جای‌گزین

شوند، مدل ایزوتروم لانگمیر به دست می‌آید، که به صورت

معادله‌ی ۵ نوشته می‌شود [۱۶]:

نتیجه‌های بهدست آمده از محاسبات فوق در جدول ۱ آورده شده است. بر اساس نتیجه‌های بهدست آمده بهترین مدل ایزوترم جذبی برای رنگ AR206 مدل ایزوترم جذبی فریتز و اشلاندر که کمترین مقدار RMS را داشت تشخیص داده شد.

بررسی سینتیک حذف رنگ AR206 در فرایند جذب با استفاده از توده‌ی سلولی مرده‌ی قارچ آیرپکس لاکتیوس در این بخش با استفاده از نتیجه‌های تجربی بهدست آمده با روش واپاش<sup>۳</sup> خطی پیروی اطلاعات جذبی با مدل‌های سینتیکی که روابط آن‌ها در فصل اول توضیح داده شده است مورد بررسی قرار گرفته شده است. مهم‌ترین مدل‌های سینتیکی عبارتند از [۱۶ تا ۱۸]:

- مدل سینتیکی شبه درجه‌ی اول<sup>۳</sup>

- مدل سینتیکی شبه درجه‌ی دوم<sup>۴</sup>

- مدل سینتیکی اصلاح شده شبه درجه‌ی اول<sup>۵</sup>

نتیجه‌های این بررسی‌ها و روابط هر یک از مدل‌های فوق در جدول ۲ آورده شده است. در روابط موجود در این جدول،  $q_e$  غلظت تعادلی در فاز جامد پس از رسیدن به تعادل برحسب  $t$  (mg/g)،  $q_t$  غلظت تعادلی در فاز جامد در زمان مشخص  $t$  برحسب (mg/g)،  $t$  زمان برحسب (min)،  $K_1$ ,  $k_2$ ,  $k_1$  به ترتیب ثابت سرعت فرایند جذب شبه درجه‌ی اول، شبه درجه دوم و شبه درجه اول اصلاح شده است. در این روش، معادلات خطی شده هریک از مدل‌های فوق مورد استفاده قرار گرفته شد و بهترین خطی که از نقاط بهدست آمده با روش آزمایشگاهی می‌گزند با روش برآش خطی ترسیم می‌شود. بر اساس این نتیجه‌ها بهترین مدل سینتیکی که با فرایند جذب برای رنگ یاد شده مطابقت داشته باشد، مدل سینتیکی شبه درجه‌ی اول اصلاح شده تعیین شد.

که به طور معمول به صورت زیر نیز نوشته می‌شود:

$$q = \frac{K_R C}{1 + b_R C^\beta} \quad (11)$$

برای تعیین بهترین حالت تطابق نتیجه‌های تجربی و محاسباتی بهدست آمده از هریک از مدل‌های یاد شده از روش نیوتن و تعیین ضریب همبستگی بین نتیجه‌های آزمایشگاهی و نتیجه‌های محاسباتی استفاده شد. رابطه نیوتن به صورت زیر است [۱۷]:

$$RMS = \sqrt{\sum_{i=1}^N (q_{ei,cal} - q_{ei,exp})^2 / N} \quad (12)$$

که در این روابط RMS بیانگر میزان انحراف اطلاعات تجربی و محاسباتی و به بیان دیگر معرف میزان خطای مدل از مقدارهای تجربی بهدست آمده در آزمایشگاه است. در این روابط  $q_{ei,cal}$  = غلظت رنگ در فاز جامد بهدست آمده با استفاده از محاسبات

$q_{ei,exp}$  = غلظت رنگ در فاز جامد بهدست آمده با استفاده از

نتیجه‌های آزمایشگاهی

$N$  = تعداد نقاط بهدست آمده در روش آزمایشگاهی است.

جدول ۱ تعیین مقدار عامل‌های موجود در مدل‌های هم‌دماهای جذبی متفاوت و خطاهای هریک از مدل‌ها که با روش نیوتن در دمای ۲۰ درجه سانتی‌گراد محاسبه شده است

RMS	مقادیر عامل‌های موجود در مدل‌ها	معادله مدل	نام مدل
۵,۰۳	$K_L = ۲/۱۳۰$ $a_L = ۰,۰۲۳$	$q = \frac{K_L C}{1 + a_L C}$	لانگمیر
۹,۸۷	$K_F = ۲۵/۰۵۰$ $n_F = ۰,۲۶۰$	$q_e = K_F C^{n_F}$	فرونولیش
۳,۳۴	$K_R = ۴/۴۵۰$ $b_R = ۰,۰۹۲$ $\beta = ۱,۱۲۰$	$q = \frac{K_R C}{1 + b_R C^\beta}$	ردلیش- پترسون
۱,۸۷	$k_s = ۷/۴۷۰$ $a_s = ۰,۰۱۷$ $b_1 = ۰,۹۱۸$ $b_2 = ۰,۸۰۳$	$q = \frac{k_s C^{b_1}}{1 + a_s C^{b_2}}$	فریتز- اشلاندر

1. Root mean square  
5. Modified pseudo-second -order kinetic models

2. Regression

3. Pseudo-first-order kinetic models

4. Pseudo-second -order kinetic models

جدول ۲ - مقادیر پارامترهای موجود در مدل‌های سینتیکی مختلف و ضریب همبستگی هریک از مدل‌ها

غلظت اولیه رنگ (C <sub>0</sub> ) بر حسب (mg/L)	شبۀ درجه اول		شبۀ درجه اول اصلاح شده		شبۀ درجه دوم	
	k <sub>1</sub> (min <sup>-1</sup> )	R <sup>2</sup>	K <sub>1</sub> (min <sup>-1</sup> )	R <sup>2</sup>	k <sub>2</sub>	R <sup>2</sup>
۵۰	۷,۶۵ × 10 <sup>-۴</sup>	۰,۸۳۸	۳,۷۳ × 10 <sup>-۴</sup>	۰,۹۹۸	۱,۰۲ × 10 <sup>-۴</sup>	۰,۸۳۱
۷۵	۳,۵۲ × 10 <sup>-۴</sup>	۰,۸۲۴	۲,۵۴ × 10 <sup>-۴</sup>	۰,۹۹۶	۳,۴۲ × 10 <sup>-۴</sup>	۰,۸۴۱
۱۰۰	۲,۲۷ × 10 <sup>-۴</sup>	۰,۸۱۷	۶,۴۵ × 10 <sup>-۵</sup>	۰,۹۹۷	۲,۲۱ × 10 <sup>-۴</sup>	۰,۸۵۷
۱۲۵	۱,۸۶ × 10 <sup>-۴</sup>	۰,۸۱۲	۶,۲۱ × 10 <sup>-۵</sup>	۰,۹۹۹	۱,۶۷ × 10 <sup>-۴</sup>	۰,۸۷۲
۱۵۰	۱,۵۸ × 10 <sup>-۴</sup>	۰,۸۸۳	۵,۵۴ × 10 <sup>-۵</sup>	۰,۹۹۹	۱,۴۳ × 10 <sup>-۴</sup>	۰,۸۹۴

## نتیجه گیری

براساس مطالعه‌های انجام شده مشخص شد که توده سلولی قارچ آیرپکس لاکتیوس می‌تواند به عنوان جاذب مناسب برای حذف آلاینده رنگی مورد مطالعه که از نوع رنگ‌های دسته‌ی آزوئنیم است، به کار رود. بر اساس نتیجه‌های بدست آمده بیشترین بازدهی جذب برای رنگ AR206 در pH‌های اسیدی است و با افزایش غلظت بیش از ۱۵۰ mg/l بازدهی جذب کاهش می‌یابد. بررسی مدل‌های ایزوترمی نشان داد که بیشترین تطابق با مدل فریتز و اشلاندر وجود دارد. نتایج مطالعات سینتیکی نشان داد که مدل سینتیکی شبۀ درجه اول اصلاح شده مناسب ترین مدل برای بررسی سرعت فرایند جذب رنگ بر روی توده سلولی مرده قارچ است و سرعت جذب رنگ بر روی توده سلولی مرده قارچ با افزایش دما کاهش می‌یابد.

بررسی تأثیر دما در فرایند جذب رنگ AR206

نتیجه‌های آزمایشگاهی نشان‌دهنده کاهش ثابت سرعت جذبی رنگ مذکور با افزایش دماست. این نتیجه‌ها در جدول ۳ خلاصه شده است. با توجه به نتیجه‌های پژوهش‌های انجام شده مشابه می‌توان نتیجه گرفت که با افزایش دما سرعت واجذب رنگ از مکان‌های فعال جذبی بیشتر شده است [۱۶ و ۲۰].

جدول ۳ تأثیر دما در ثابت سرعت جذب رنگ AR206 در محلول آبی با استفاده از توده زیستی قارچی آیرپکس لاکتیوس در شرایطی که غلظت اولیه رنگ ۱۵۰ ppm pH محلول معادل، ۰,۲ گرم و دما متغیر بود

دما بر حسب درجه سانتی گراد	ثابت سرعت بر حسب K <sub>2</sub> (min <sup>-1</sup> )
۲۰	۵,۱۳ × 10 <sup>-۴</sup>
۲۵	۴,۲۵ × 10 <sup>-۴</sup>
۳۰	۲,۳۱ × 10 <sup>-۴</sup>
۳۵	۲,۲۶ × 10 <sup>-۴</sup>

## مراجع

- [1] Anjali, P. A.K.; Sahoo, C.; Dyes Pigments. 69, 224-232, 2006.
- [2] Lorenc-Grabowska. E.; Gryglewicz, G.; J. Coll Interface Sci. 284, 416-423, 2005.
- [3] Garg, V.K.; Moirangthem, A.; Kumar, R.; Gupta, R.; Dyes Pigments. 63, 243-250, 2004.
- [4] Benkli, Y.E.; Can, M.F.; Turan, M.; C- elik, M.S.; Water Res. 39, 487-493, 2005.
- [5] Igor Bezverkhyy, I.; Bouguessa, K.; Geantet, C.; Vrinat, M.; Appl. Catal. B: Environ 62, 299-305, 2006.
- [6] Won,S. W.; Yun,Y. S.; Dyes Pigments. 76, 502-507, 2008.
- [7] Renganathan, S., Thilagaraj, W.R.; Miranda, L.R.; Gautam, P.; Velan, M.; Bioresour. Tech-

- nol. 97, 2189–2193, 2006.
- [8] Aksu, Z; Donmez, G.; Chemosphere. 50, 1075–1083, 2003.
- [9] Won, S. W.; Choi, S. B.; Yun, Y.S.; Colloid Surf. A-Physicochem. Eng. Aspects. 262, 175–180, 2005.
- [10]Aksu, Z.; Tezer, S.; Process Biochem. 40, 1347–61, 2005.
- [11]O'Mahony, T.; Guibal, E; Tobin, J.M.; Enzyme Microb Technol. 31, 456–63, 2002.
- [12]Hu, T.L.; Water Sci Technol. 34, 89–95, 1996.
- [13]Aksu, Z; Donmez, G.; Chemosphere. 50, 1075–83, 2003.
- [14]Gadd, G.M.; J. Chem. Technol. Biotechnol.
- 84, 13 – 28, 2009.
- [15]Won, S. W.; Kim, H. J.; Choi, S. H.; Chung, B. W.; Kim, K. J.; Yun, Y. S.; Chem. Eng. J. 121, 37–43, 2006.
- [16]Ozcan, A.; Oncu, A. E.; Ozcan, A. S.; Coll. Surf. A. 277, 90–97, 2006.
- [17]Uzun, I.; Dyes Pigments. 70, 76–83, 2006.
- [18]Wang, Y.; Mu, Y.; Zhao, Q. B.; Yu, H. Q.; Sep. Purif. Technol. 50, 1–7, 2006.
- [19]Aksu, Z.; Tatlı, A.I.; Tunc, O.; Chem. Eng. J. 142(1), 23–39, 2008.
- [20]Ringot, D.; Lerzy, B.; Bonhoure, J. P.; Auclair, E.; Oriol, E.; Larondelle, Y.; Process Biochem., 40(9), 3008-3016, 2005.